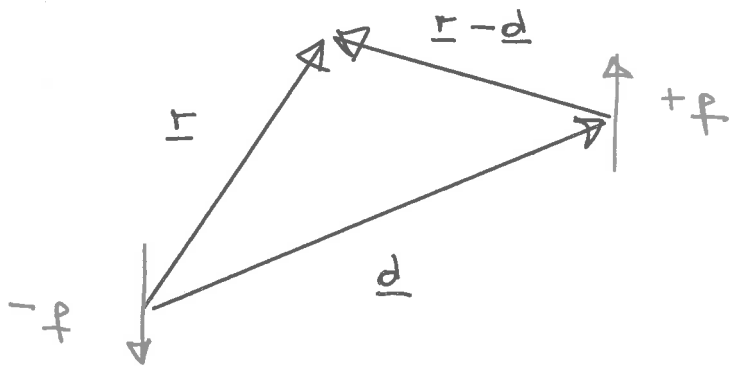


### d) Beispiel Quadrupol (Übungen)



• Falls  $Q_{ij} = \lim_{\substack{d_i \rightarrow 0 \\ f_j \rightarrow \infty}} \{ 3 d_i p_j - d_k p_k \delta_{ij} \}$  endlich (2.44)

$$\begin{aligned} \Phi_Q(\underline{r}) &= \frac{1}{4\pi\epsilon_0} \frac{1}{r^5} \underline{r} \cdot \{ 3 \underline{d} \otimes \underline{f} - \underline{\underline{1}} (\underline{d} \cdot \underline{f}) \} \underline{r} = \\ &= \frac{1}{4\pi\epsilon_0} \frac{1}{r^5} \underline{r} \cdot Q \underline{r} = \frac{1}{12\pi\epsilon_0} \frac{1}{r^5} Q : \{ 3 \underline{r} \otimes \underline{r} - \underline{\underline{1}} \underline{\underline{1}} \} \end{aligned} \quad (2.45) \text{ vgl. (2.31)}$$

• Taylorentwicklung nach Potenzen in  $\frac{r'}{r}$ :

$$\begin{aligned} \frac{1}{|\underline{r} - \underline{r}'|} &\stackrel{!}{=} \exp \left\{ - \underline{r}' \cdot \nabla \right\} \frac{1}{r} = \\ &= \frac{1}{r} - (\underline{r}' \cdot \nabla) \frac{1}{r} + \frac{1}{2} (\underline{r}' \cdot \nabla)^2 \frac{1}{r^2} + \dots \\ \stackrel{\text{ub.}}{=} & \frac{1}{r} + \frac{\underline{r}' \cdot \underline{r}}{r^3} + \frac{1}{2} \frac{3(\underline{r}' \cdot \underline{r})^2 - \underline{r}'^2 r^2}{r^5} + \dots \end{aligned} \quad (2.47)$$

• Folgt:

$$\begin{aligned} 4\pi\epsilon_0 \Phi(\underline{r}) &= \frac{1}{r} \int d^3 \underline{r}' g(\underline{r}') + \frac{r}{r^3} \cdot \int d^3 \underline{r}' \underline{r}' g(\underline{r}') \\ &+ \frac{1}{2r^5} \underline{r} \cdot \int d^3 \underline{r}' g(\underline{r}') \{ 3 (\underline{r}' \otimes \underline{r}') - \underline{\underline{1}} \underline{r}'^2 \} \underline{r} = \end{aligned}$$

$$=: \frac{q}{r} + \frac{r \cdot p}{r^3} + \frac{1}{2} \frac{r \cdot Q_r}{r^5} + \dots \quad (2.48)$$

mit

$$\text{i) Monopolterm } q = \int d^3 r' g(r') \quad (2.49)$$

$$\text{ii) Dipolterm } p = \int d^3 r' r' g(r') \quad (2.50)$$

- NB! ändert sich bei Verschiebung des Ursprungs, es sei denn  $q = 0$ .
- $p = 0$  bei spiegel-symmetrischer Ladungsverteilung

iii) Quadrapolterm mit

$$Q_{ij} = \int d^3 r' g(r') \{ 3x_i' x_j' - r'^2 \delta_{ij} \} \quad (2.51)$$

- symmetrisch, spurlos ( $\text{sp } Q = 0$ ).

### b) Sphärische Multipolesmomente

- Es gilt (oB, Übungen) die Reihenentwicklung für  $r > r'$ :

$$\frac{1}{|r - r'|} = \frac{4\pi}{r} \sum_{l=0}^{\infty} \sum_{m=-l}^{+l} \frac{1}{2l+1} \left(\frac{r'}{r}\right)^l Y_{lm}^*(\theta', \varphi') Y_{lm}(\theta, \varphi) \quad (2.52)$$

mit den Kugelflächenfunktion

$$Y_{lm}(\theta, \varphi) \quad (2.53)$$

wir im QT-Nachskript (6.32)

$$\cdot \text{NB! } Y_{l-m}(\theta, \varphi) = (-1)^m Y_{lm}^*(\theta, \varphi) \quad (2.54)$$

- Mit der kartesischen Darstellung der Kugelflächenfunktionen in QM (6.32) ergibt sich (2.52) identisch zu (2.48) (Übungen).

- Es folgt für das Potenzial:

$$\begin{aligned} \underline{\Phi}(\underline{r}) & \stackrel{(2.46)}{=} \frac{1}{4\pi\epsilon_0} \int d^3 r' \frac{g(r')}{|\underline{r} - \underline{r}'|} = \\ & \stackrel{(2.52)}{=} \frac{1}{\epsilon_0} \sum_{\ell=0}^{\infty} \sum_{m=-\ell}^{+\ell} \frac{1}{2\ell+1} \frac{1}{r^\ell} \underbrace{\int d^3 r' r'^\ell g(r') Y_{\ell m}^*(\theta', \varphi')}_{q_{\ell m} Y_{\ell m}(\theta, \varphi)} Y_{\ell m}(\theta, \varphi) \\ & =: \frac{1}{\epsilon_0} \sum_{\ell=0}^{\infty} \frac{1}{2\ell+1} \frac{1}{r^{\ell+1}} \sum_{m=-\ell}^{+\ell} q_{\ell m} Y_{\ell m}(\theta, \varphi) \quad (2.55) \end{aligned}$$

- NS! Vergleiche  $q_{1m}$  mit  $p_i$  (2.50)  
und  $q_{2m}$  mit  $Q_{ij}$  (2.51) (Übungen)

## 2.5 Maxwell-Gleichungen der Elektrostatisik

### a) Mathematische Vorbemerkungen

#### i) Flächenintegrale

- $S$  Fläche



$$\sum_i \underline{E}_i \cdot \underline{\Delta f}_i \rightarrow \int_S d\underline{f} \cdot \underline{E}(\underline{r}) : \text{"Elektrischer Fluss"} \quad (2.56)$$

- Genauer:  $S = \{ \underline{r}(u, v) \mid (u, v) \in A \subset \mathbb{R}^2 \text{ Parameter} \}$  (2.57)

$$\int_S d\underline{f} \cdot \underline{E}(\underline{r}) = \int_A du dv \left( \frac{\partial \underline{r}}{\partial u} \times \frac{\partial \underline{r}}{\partial v} \right) \cdot \underline{E}(\underline{r}(u, v)) \quad (2.58)$$

- Sei der Träger von  $\underline{g}$  so klein und  $\underline{\Phi}_{ex}$  so glatt, dass man entwickeln kann:

$$\begin{aligned}\underline{\Phi}_{ex}(\underline{r}) &= \underline{\Phi}_{ex}(0) + (\underline{r} \cdot \nabla) \underline{\Phi}_{ex}(0) + \frac{1}{2} (\underline{r} \cdot \nabla)^2 \underline{\Phi}_{ex}(0) + \dots \\ &\stackrel{(2.97)}{=} \underline{\Phi}_{ex}(0) - \underline{r} \cdot \underline{E}(0) + \frac{1}{6} \sum_{i,j} \left\{ 3x_i x_j - r^2 \delta_{ij} \right\} \underbrace{\frac{\partial^2 \underline{\Phi}_{ex}}{\partial x_i \partial x_j}(0)}_{\text{durch } \underline{E}_{ex} = 0} + \dots\end{aligned}\quad (2.98)$$

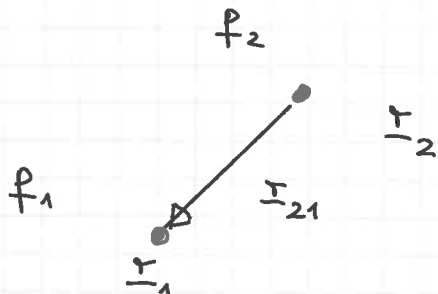
<NB! keine Wirkung von  $\nabla$  auf  $\underline{r}$ >

- In (2.97):

$$\underline{\omega}_{ws} \stackrel{(2.49)-(2.51)}{=} q \underline{\Phi}_{ex}(0) - p \cdot \underline{E}(0) - \frac{1}{6} \underbrace{\underline{Q} : (\nabla \otimes \underline{E})}_{(2.99)} + \dots$$

$$\underline{Q}_{ij}(\partial_i E_j) = \underbrace{Q_{ij} E_{j,i}}$$

- Wechselwirkung zwischen zwei Dipolen:



$$\begin{aligned}\underline{\omega}_{D_1 D_2} &= -f_1 \cdot \underline{E}_2(\underline{r}_{21}) \stackrel{(2.36)}{=} -f_1 \cdot \frac{1}{4\pi\epsilon_0} \left\{ \frac{3\underline{r}_{21}(\underline{r}_{21} \cdot f_2)}{r_{21}^5} - \frac{f_2}{r_{21}^3} \right\} \\ &= \frac{1}{4\pi\epsilon_0} \left\{ \frac{f_1 \cdot f_2}{r_{12}^3} - \frac{3(\underline{r}_{12} \cdot f_1)(\underline{r}_{12} \cdot f_2)}{r_{12}^5} \right\} = \\ &= -\frac{1}{4\pi\epsilon_0} \frac{1}{r_{12}^3} f_1 \cdot \left\{ 3 \hat{\underline{r}}_{12} \otimes \hat{\underline{r}}_{12} - 1 \right\} f_2 \quad (2.100)\end{aligned}$$

<Nächstes Ziel: Lösung des Randwertproblems  
der Elektrostatisik (2.70). Dazu als mathematische  
Vorbereitung:>